

**РЕАКЦИЯ  $\bar{p}p \rightarrow \bar{\Lambda}\Lambda$  И АНОМАЛЬНЫЙ ВКЛАД  $P$ -ВОЛНЫ  
В СИСТЕМЕ  $\bar{\Lambda}\Lambda$  ВЛИЗИ ПОРОГА**

О.Д.Далькаров, К.В.Протасов

Экспериментально наблюдавшийся эффект аномально большого  $P$ -волнового усиления в реакции  $\bar{p}p \rightarrow \bar{\Lambda}\Lambda$  в области энергий около порога  $\bar{\Lambda}\Lambda$  объяснен теоретически существованием квазиядерных уровней в системе  $\bar{\Lambda}\Lambda$ .

В недавнем эксперименте<sup>1</sup>, выполненном на LEAR (накопитель медленных антипротонов в ЦЕРН'е) были обнаружены резкая асимметрия в угловом распределении  $\bar{\Lambda}$  (рис. 1) и поведение  $k^3$  ( $k$  – относительный импульс в СЦМ  $\Lambda$  и  $\bar{\Lambda}$ ) сечения реакции  $\bar{p}p \rightarrow \bar{\Lambda}\Lambda$  (рис. 2) при совсем малых  $k \approx 45$  МэВ/с (что соответствует кинетической энергии  $\epsilon$  в системе  $\bar{\Lambda}\Lambda$   $\epsilon \approx 2$  МэВ). Эти экспериментальные данные указывают на значительную роль  $P$ -волны в орбитальном движении  $\bar{\Lambda}$  и  $\Lambda$ , сравнимую с вкладом  $S$ -волны в области импульсов  $k$ , где ожидаемый вклад  $P$ -волны в сечение реакции  $\bar{p}p \rightarrow \bar{\Lambda}\Lambda$  не должен был бы превышать по простым барьерным оценкам 1% этого сечения. Если вычислить по этим барьерным оценкам радиус  $\bar{\Lambda}\Lambda$  взаимодействия в предположении, что  $P$ -волна составляет лишь 10% указанного сечения, то он окажется очень большим – 3 Фм, равным радиусу ядра  $^{12}\text{C}$ . В этой связи следует напомнить, что аналогичное явление (аномально большой вклад  $P$ -волны) наблюдалось ранее в поведении сечений  $\bar{p}p$ -взаимодействия вблизи  $\bar{p}p$ -порога<sup>2</sup>. При этом вся совокупность имеющихся экспериментальных данных по  $\bar{p}p$ -взаимодействию вблизи порога была описана в реалистической модели связанных каналов<sup>3</sup>. Естественным следствием применения этой модели к описанию экспериментальных данных явилось предсказание спектра достаточно узких ( $\Gamma \lesssim 50 \div 80$  МэВ) вблизипороговых квазиядерных  $P$ -состояний в системе  $\bar{N}N$ , существование которых и обуславливает аномально большой вклад  $P$ -волны в  $\bar{p}p$ -взаимодействие во вблизипороговой области.

В настоящей работе мы предлагаем нерелятивистскую модель четырех связанных каналов для описания процесса  $\bar{p}p \rightarrow \bar{\Lambda}\Lambda$  около порога  $\bar{\Lambda}\Lambda$ . Каналы 1 и 2 соответствуют  $\bar{p}p$  и  $\bar{\Lambda}\Lambda$  системам с реалистическим взаимодействием типа ОВЕР<sup>4</sup>. Выбор типа обрезания потенциала ( $V(r < r_c) = 0$ ) и величин радиусов обрезания  $r_c$  был взят из работ<sup>3, 5</sup>. Каналы 3 и 4 соответствуют аннигиляционному взаимодействию в системах  $\bar{p}p$  и  $\bar{\Lambda}\Lambda$  соответственно. Эти каналы аппроксимировались двумя невзаимодействующими частицами с массами равными массам  $\rho$ -мезона и  $K^*$ -мезона. Связь между каналами  $\bar{B}B$  ( $B \equiv p, \Lambda$ ) и аннигиляционными каналами осуществлялась с помощью локальных потенциалов юкавского типа, кон-

станты перед которыми были положены равными для каналов 3 и 4 и были взяты из работы<sup>3</sup> (аналогично тому как выбирался радиус для переходного потенциала из системы  $\bar{p}p$ , в случае потенциала, связывающего канал 4 с системой  $\bar{\Lambda}\Lambda$ , соответствующий аннигиляционный радиус был положен равным  $r_a = 1/2M_\Lambda \approx 0,09$  Фм,  $M_\Lambda$  – масса  $\Lambda$ -гиперона).

Связь между каналами 3 и 4,  $\bar{p}p$  и 4,  $\bar{\Lambda}\Lambda$  и 3 отсутствует (физическая причина этого состоит в том, что вклад странных частиц в аннигиляцию  $\bar{p}p$  не превышает 10%, в то время как для аннигиляции  $\bar{\Lambda}\Lambda$  каналы с участием странных частиц должны быть доминирующими). Помимо этого, можно аналитически показать, что наличие сильного взаимодействия между аннигиляционными каналами приводит к уменьшению сечения аннигиляции в  $N_B$  раз, где  $N_B$  – число сортов барионов, рассматриваемых в задаче (подробное обсуждение этого эффекта будет дано в другой работе). Связь между каналами  $\bar{p}p$  и  $\bar{\Lambda}\Lambda$  осуществляется с помощью потенциала  $V(\bar{p}p \rightarrow \bar{\Lambda}\Lambda)$ , соответствующего обмену мезонами  $K$  и  $K^*$  (константы связи взяты из<sup>4</sup>). Единственным варьируемым параметром модели является радиус обрезания потенциала  $V(\bar{p}p \rightarrow \bar{\Lambda}\Lambda)$ . Для описания экспериментальных данных были использованы следующие значения радиусов обрезания:  $r_c(^1S_0) = r_c(^3S_1) = 1,0$  Фм,  $r_c(^3P_0) = r_c(^3P_2) = 1,3$  Фм,  $r_c(^1P_1) = 1,4$  Фм,  $r_c(^3P_1) = 1,5$  Фм. В расчетах учтен только вклад  $S$ - и  $P$ -волн.

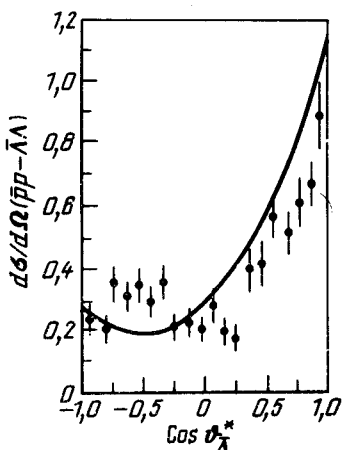


Рис. 1

Рис. 1. Дифференциальное сечение реакции  $\bar{p}p \rightarrow \bar{\Lambda}\Lambda$  как функция косинуса угла вылета  $\bar{\Lambda}$  в СЦМ при  $\epsilon = 3,6$  МэВ.

Рис. 2. Полное сечение реакции  $\bar{p}p \rightarrow \bar{\Lambda}\Lambda$  как функция кинетической энергии  $\bar{\Lambda}$  и  $\Lambda$  и импульса налетающего антипротона в лабораторной системе. Сплошная кривая – полное сечение, пунктирная – вклад  $S$ -волны

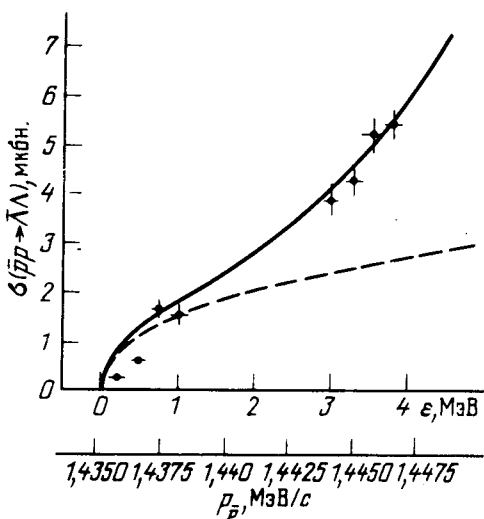


Рис. 2

На рис. 1 показано вычисленное дифференциальное сечение реакции  $\bar{p}p \rightarrow \bar{\Lambda}\Lambda$  в сравнении с экспериментальными данными при кинетической энергии в системе  $\epsilon = 3,6$  МэВ. Видно, что теоретическая кривая правильно передает основную качественную особенность – резкую направленность вперед в угловом распределении  $\Lambda$  ( $\bar{\Lambda}$ ), обусловленную существенным вкладом  $P$ -волны. Некоторое отличие теоретической кривой от экспериментальных данных в области больших углов ( $\theta > 90^\circ$ ) может быть обусловлено вкладом  $D$ -волн, не учтывавшихся в этих расчетах. На рис. 2, сплошной кривой показано вычисленное полное сечение реакции  $\bar{p}p \rightarrow \bar{\Lambda}\Lambda$ . Пунктирная кривая соответствует вкладу  $S$ -волны в сечение процесса. Видно, что в области импульсов  $k \approx 50 \div 60$  МэВ/с ( $\epsilon \approx 3 \div 4$  МэВ)  $P$ -волна составляет примерно половину указанного сечения.

Обнаруженное на эксперименте и полученное в данной работе значительное усиление вклада  $P$ -волн в системе  $\bar{\Lambda}\Lambda$  должно быть обусловлено теми же причинами, что и в рассмотренном ранее<sup>3</sup> случае  $\bar{p}p$ -взаимодействия вблизи порога  $\bar{N}N$ . Для выяснения этого вопроса мы исследовали спектр  $P$ -волновых квазиядерных резонансов в системе  $\bar{\Lambda}\Lambda$ . Одно из  $P$ -состояний, вносящее существенный вклад в  $P$ -волновую часть амплитуды процесса  $\bar{p}p \rightarrow \bar{\Lambda}\Lambda$ , имеет следующие параметры: масса — 2237 МэВ, полная ширина — 8 МэВ, аннигиляционная ширина — 2,5 МэВ, отношение ширины по каналу  $\bar{\Lambda}\Lambda$  к полной ширине — 0,7, полный момент — 1, спин — 1, пространственно и зарядово четно. Вместе с тем аннигиляционное сечение  $\bar{\Lambda}\Lambda$  оказывается столь же большим, что и в канале  $\bar{N}N$ . На рис. 3 показана поляризация  $\Lambda(\bar{\Lambda})$  в реакции  $\bar{p}p \rightarrow \bar{\Lambda}\Lambda$ . Наблюдение поляризации на эксперименте свидетельствует в пользу существования триплетных  $P$ -состояний в системе  $\bar{\Lambda}\Lambda$  вблизи порога. Обращает на себя внимание малая полная ширина  $P$ -волнового резонанса и большая упругость по каналу  $\bar{\Lambda}\Lambda$ . Это означает, что  $P$ -волновые состояния могут проявляться как узкие состояния в системах  $K\bar{K} + n\pi$ .

Авторы выражают искреннюю благодарность И.С.Шапиро за постановку задачи и полезные обсуждения и К.Килиану за предоставление экспериментальных данных.

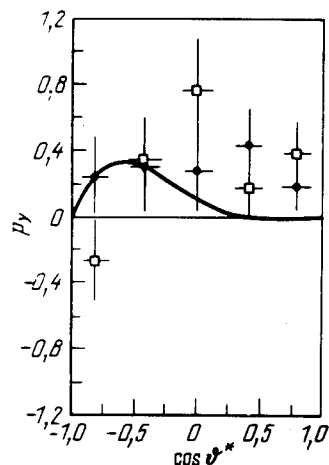


Рис. 3. Поляризация  $\bar{\Lambda}$  (□) и  $\Lambda$  (◆) как функция косинуса угла в СЦМ при  $\epsilon = 3,6$  МэВ

### Литература

1. Kilian K. Invited talk at XI International Conference "PANIC-87", April 20 – 24, 1987, Tokyo.
2. Brückner W. et al., Phys. Lett., 1985, **158B**, 180; 1986, **166B**, 113; 1986, **169B**, 302.
3. Dalkarov O.D., Protasov K.V., Shapiro I.S. Preprint P.N.Lebedev Physical Institute, 1987; Shapiro I.S. Invited talk at XI International Conference "PANIC-87", April 20 – 24, 1987, Tokyo.
4. Nagels M.M., Rijken T.A., de Swart J.J. Phys. Rev., 1979, **D20**, 1633.
5. Тяпаев Р.Т., Шапиро И.С. Письма в ЖЭТФ, 1983, 37, 291.
6. Gelfand N. Symposium on nucleon-antinucleon interactions, Illinois, 9 May, 1968, 4.